Capítulo 06

Estereoquímica de Polímeros

SMM0303 – <u>Materiais Poliméricos I</u> Horário das aulas: as quartas e quintas das 08h00 as 10h00 Googel Meet

Antonio J. F. de Carvalho SMM/EESC toni@sc.usp.br

Capítulo 6.

Polymer Stereochemistry

Pg. 157 a 167

Architeture

Orientation

Configuration

Geometric Isomerism

Conformation of Stereoregular Polymers

Factors infuluencing Stereoregulation

Arquitetura:

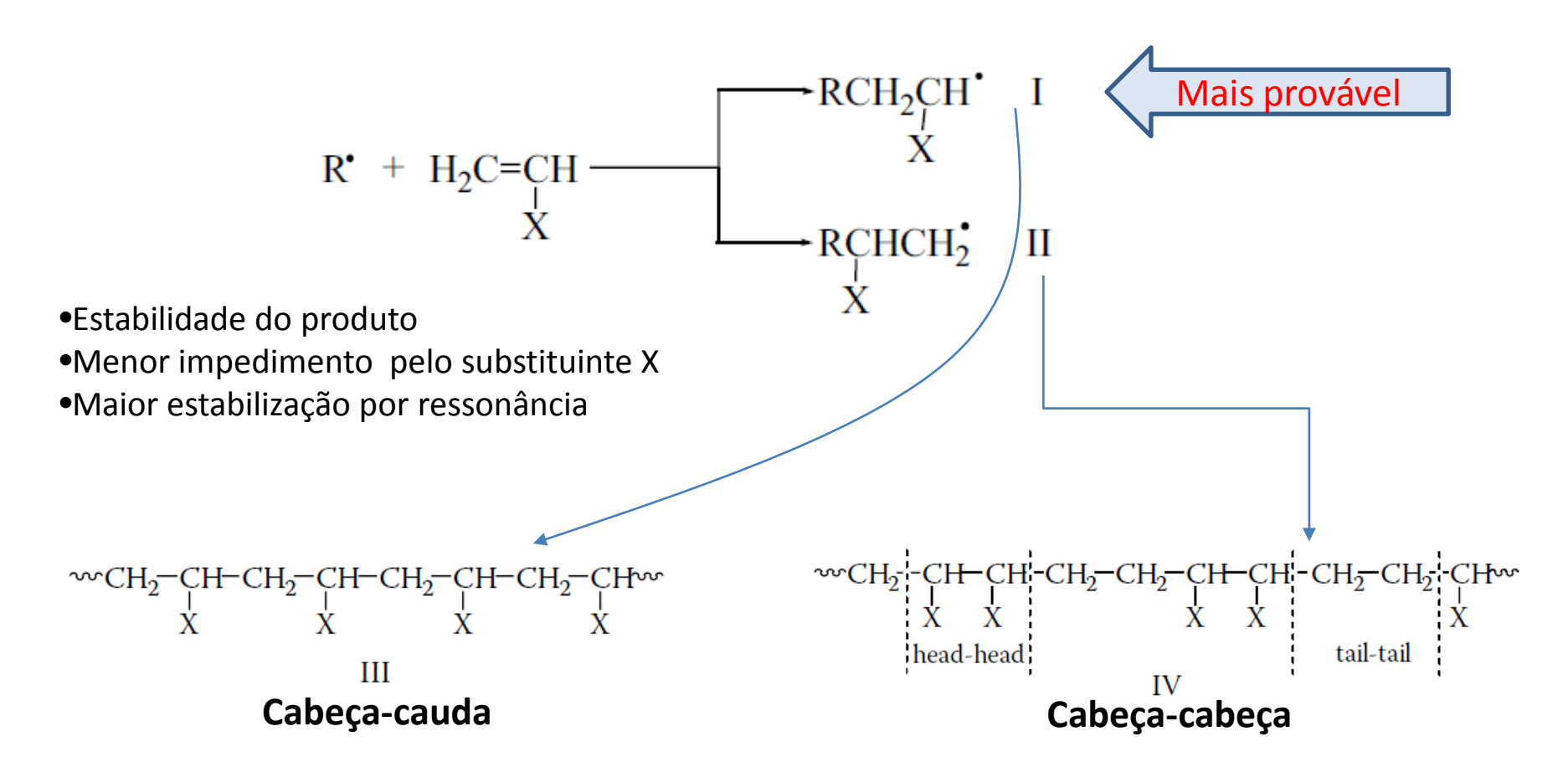
Ramificações, estruturas complexas em rede, unidades monoméricas que são isômeros

P. ex. C_2H_4O

Poli(óxido de etileno) T_e ~ - 67 °C Poli(álcool vinílico) $T_g \sim -85 \, ^{\circ}\text{C}$ Poliacetaldeído $T_g \sim -30 \, ^{\circ}C$

Orientação:

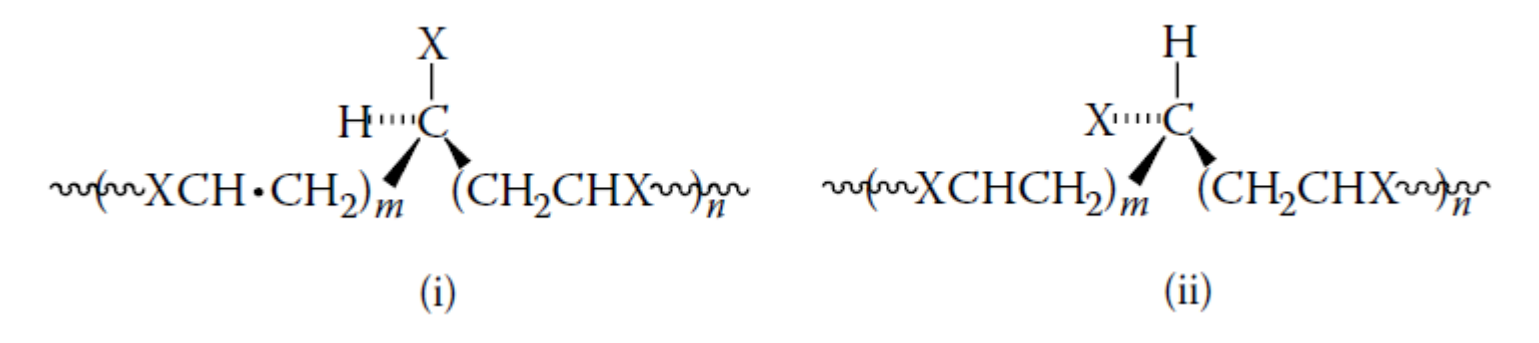
Na reação de um radical com um monômero assimétrico, temos duas possibilidades de adição:



Configuração

CH₂=CHX

Quando temos um monômero vinílico assimétrico, todos os carbonos terciários podem ser um centro **quiral**, já que as cadeias de cada um dos lados terão m e n diferentes.

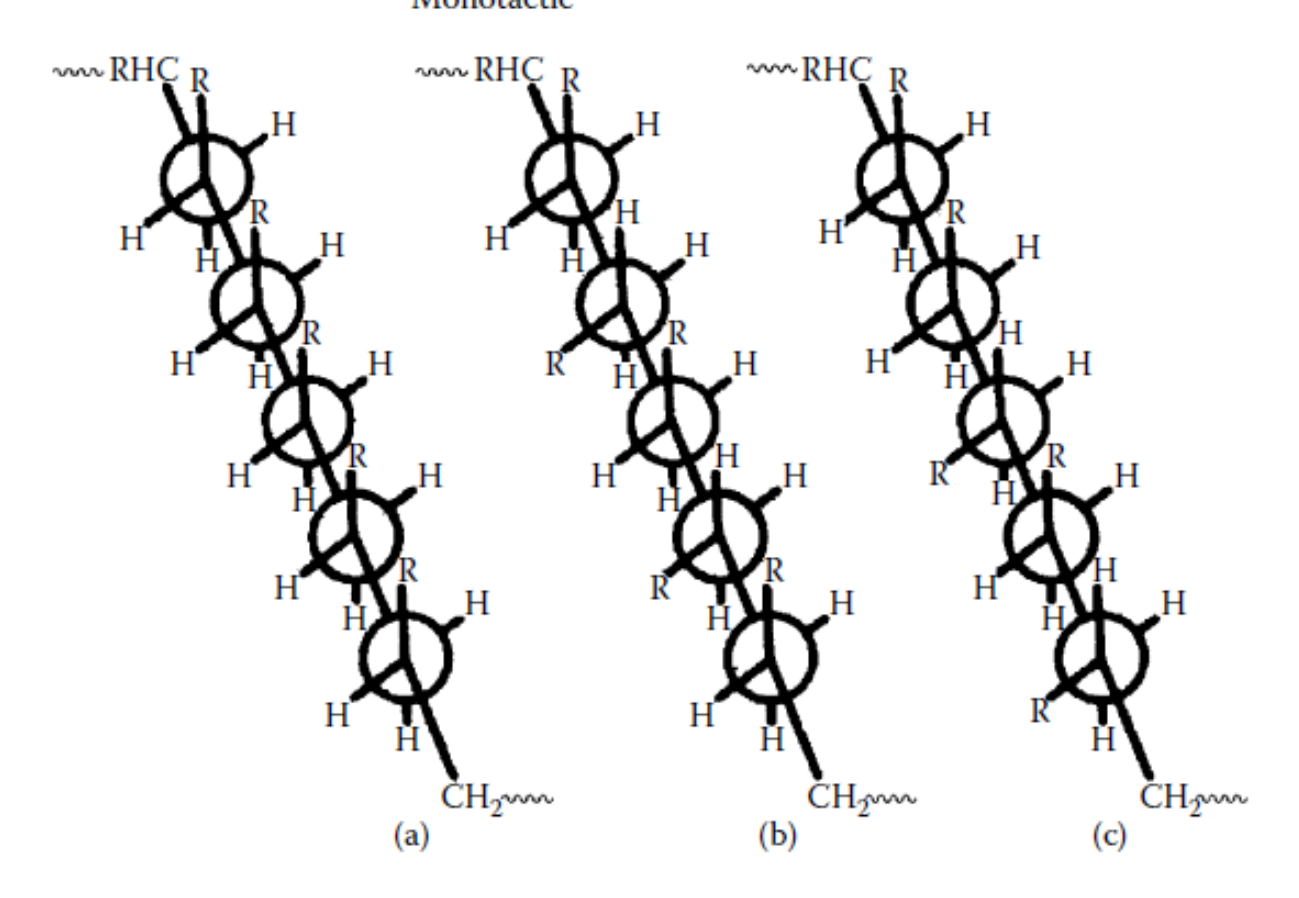


- •Como as partes da cadeia correspondente a m e n são grandes e tendem a ficar mais parecidas quanto maiores forem esses polímeros não apresentam atividade óptica. C* é um centro pseudo assimétrico.
- •Já no caso de radicais com heteroátomos na cadeia principal os mesmos (~~CH2C*HX-O~~) apresentam atividade óptica baseados em um critério (Cahn-Ingold-Prelo) pois C* nesse caso é um centro assimétrico verdadeiro e nos baseamos em um critério arbitrário como em i e ii.

Polímeros com um carbono quiral na unidade repetitiva na cadeia principal.

H H H Η Η Η H H H isotático H H H H Н Η Ŷijij H H sindiotático H Η H H H Η Η Η atático H H

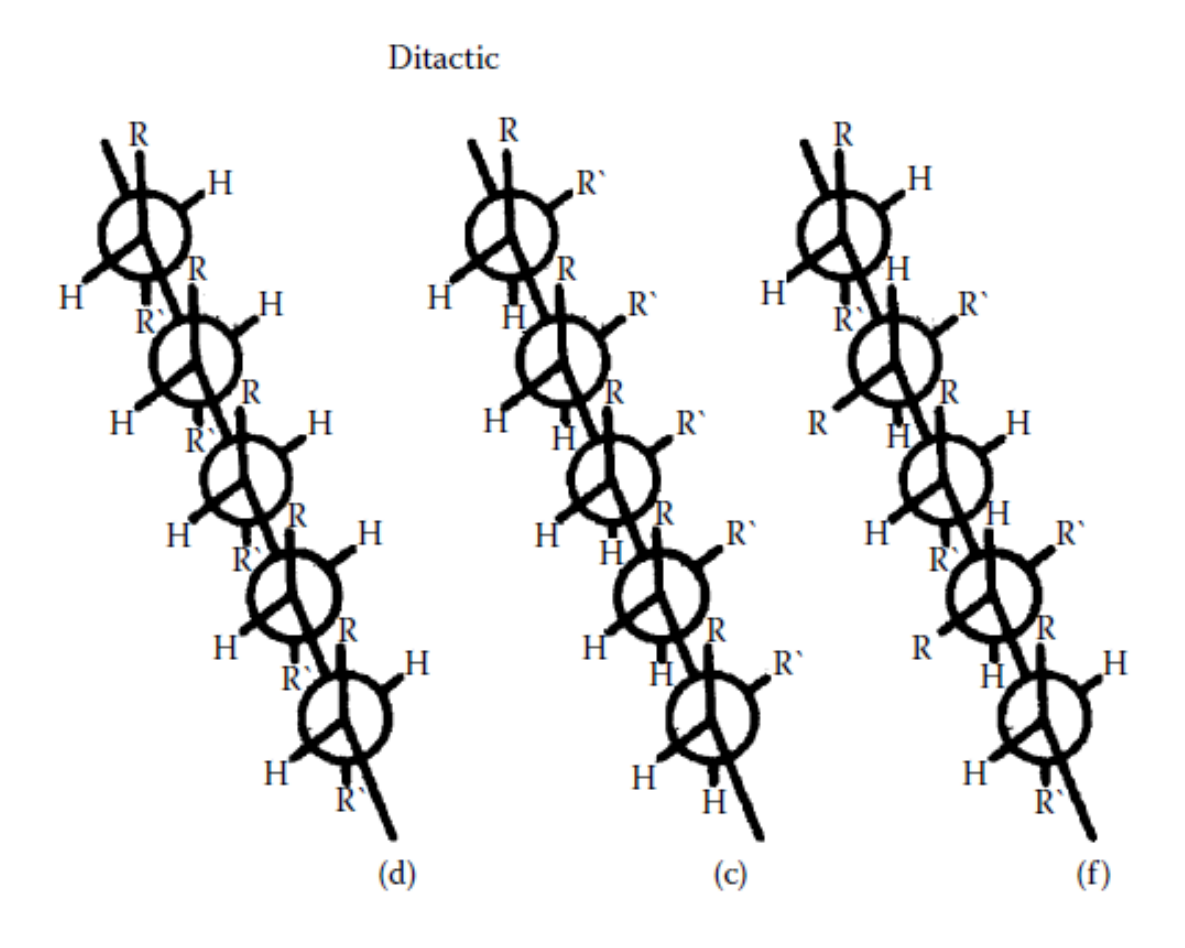
Presença de <u>um</u> carbono assimétrico: CH2=CHR Monotactic



Projeções de Newman:

- a) Isotático
- b) sindiotático
- c) atático

Presença de dois carbonos assimétricos: CHR=CHR'



Projeções de Newman:

d) eritro-di-isotático

e) tereo-di-isotático

f) di-sindiotático

Configuração de Poliéteres

Isotático
$$CH_3$$
 O CH_3 O CH_3 O CH_3 O CH_3

Sindiotático
$$CH_3$$
 CH_3 CH_3 CH_3 CH_3 CH_3

Isomerismo Geométrico

Polimerização de dienos conjugados: CH₂=CX-CH=CH₂

$$\begin{array}{c} \begin{array}{c} \begin{array}{c} \begin{array}{c} \begin{array}{c} CH_3 \\ \end{array} \\ \end{array} \\ \begin{array}{c} \begin{array}{c} CH_2 \\ \end{array} \\ \end{array} \\ \begin{array}{c} \end{array} \\ \end{array} \\ \begin{array}{c} \begin{array}{c} CH_2 \\ \end{array} \\ \end{array} \\ \begin{array}{c} \end{array} \\ \begin{array}{c} CH_2 \\ \end{array} \\ \end{array} \\ \begin{array}{c} \begin{array}{c} CH_2 \\ \end{array} \\ \end{array} \\ \begin{array}{c} CH_2 \\ \end{array} \\ \begin{array}{c} CH_2 \\ \end{array} \\ \begin{array}{c} CH_3 \\ \end{array} \\ \begin{array}{c} CH_2 \\ \end{array} \\ \begin{array}{c} CH_3 \\ \end{array} \\ \begin{array}{c} CH_2 \\ \end{array} \\ \begin{array}{c} CH_3 \\ \end{array} \\ \begin{array}{c} CH_2 \\ \end{array} \\ \begin{array}{c} CH_3 \\ \end{array} \\$$

Conformação de polímeros estereorregulares - Cristalização

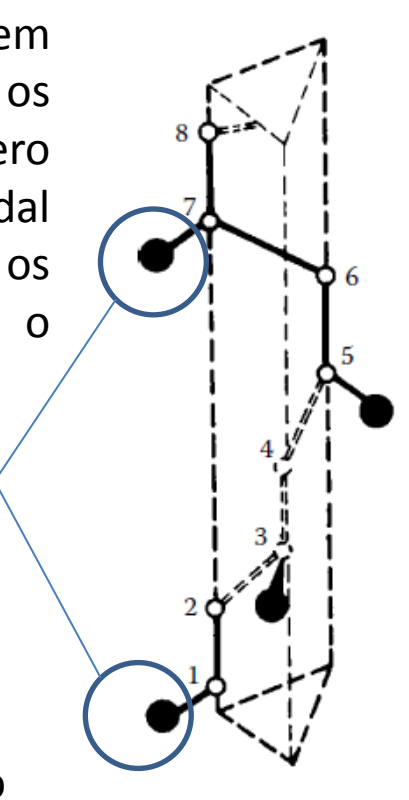
Para o polietileno que não tem um carbono assimétrico a cristalização corre para um arranjo trans zig-zag completo.

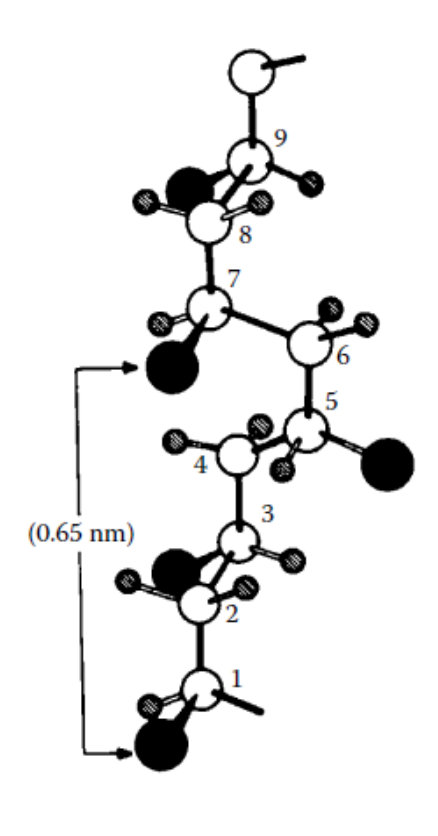
Já polímero sindiotático um conformação zig-zag não é possível em função da curta distância entre substituintes. Nesse caso o polímero adotará uma conformação helicoidal (maior distância possível entre lado substituintes). Ao para polipropileno.

Posição relativa dos carbonos:

- •1 e 4 trans
- •2 e 5 são gauche
- •3 e 6 são trans
- •4 e 7 gauche

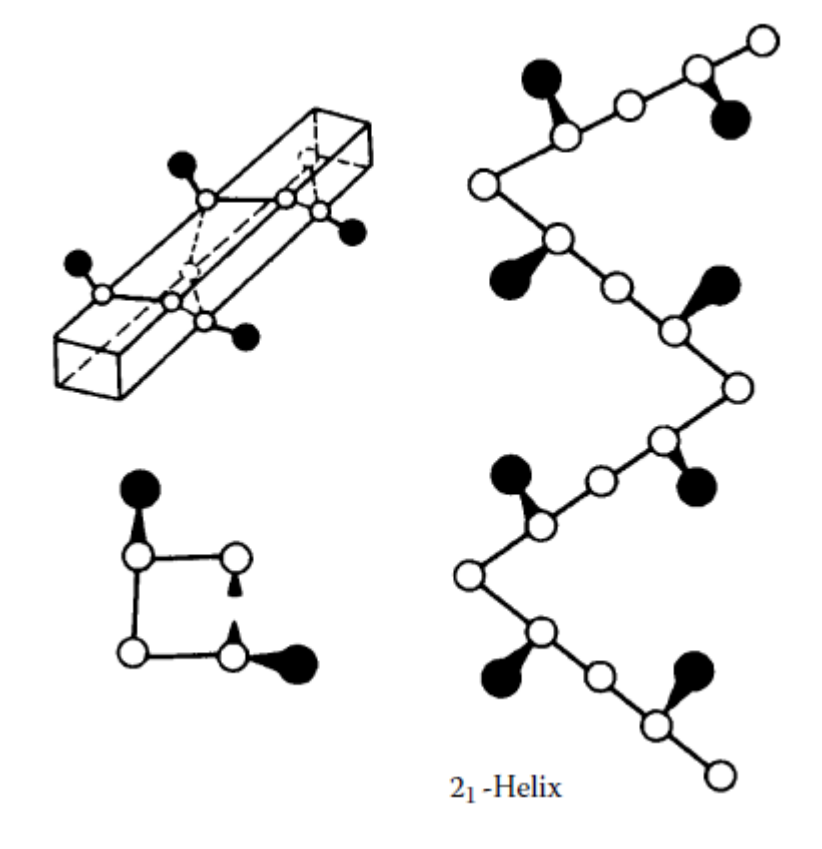
Logo C1 se repete em C7, dando 3 unidades monomérias por giro completo do hélice (3₁-hélice)





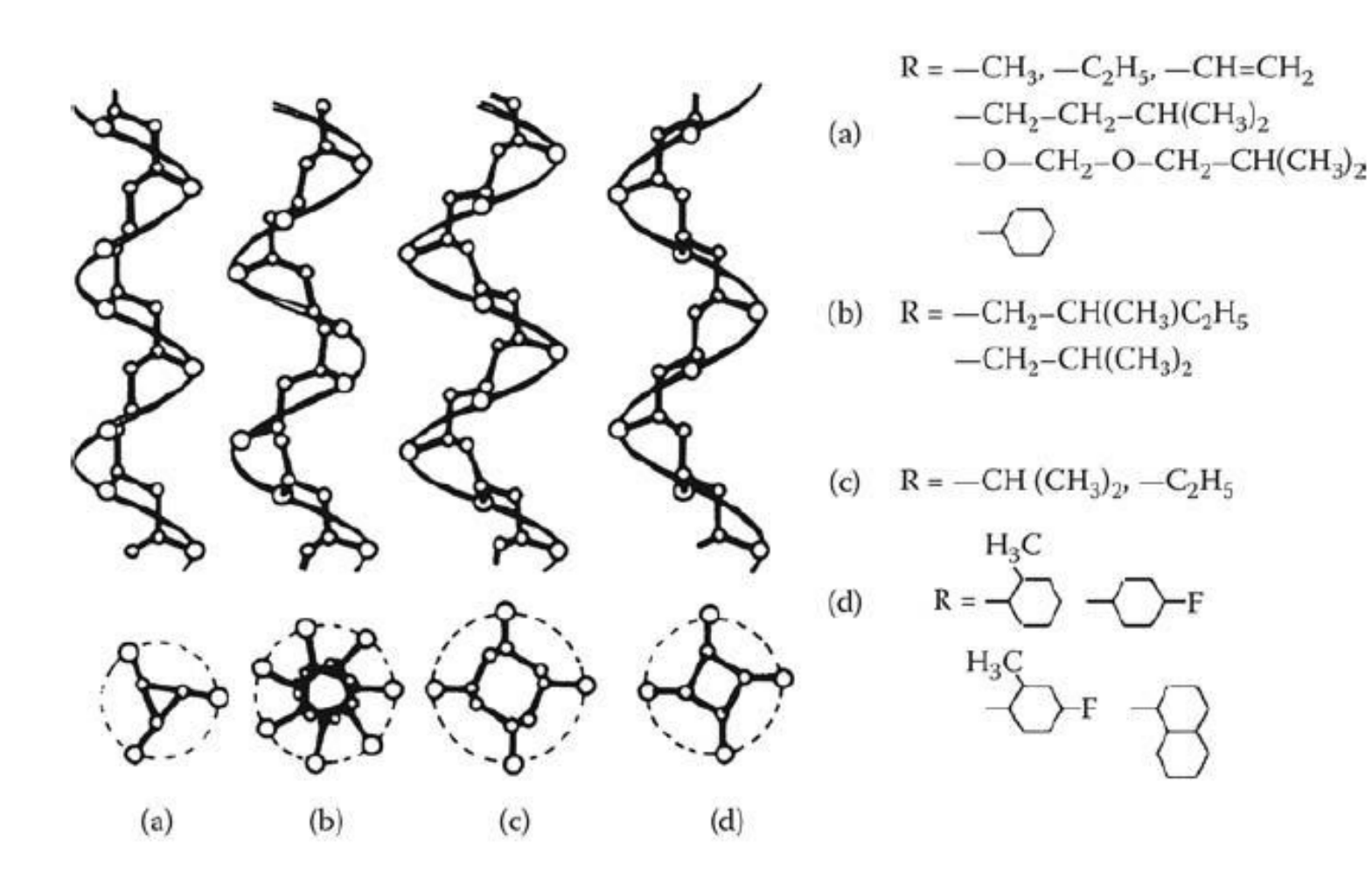
Uma hélice desse tipo com rotação de 120° irá resultar em um período de 0,62 nm (O PP isotático apresenta um período de 0,65 nm). O hélice pode ser no sentido dos ponteiros do relógio (direita) ou contrário (esquerda).

Para um polímero sindiotático a conformação zigzag é muito mais viável, já que os substituintes estão posicionados em orientações opostas. Contudo, uma dupla hélice é possível (ttgg):



Diferentes tipos de hélices podem ser formadas

Depende fundamentalmente do tamanho do substituinte (isotácticos).

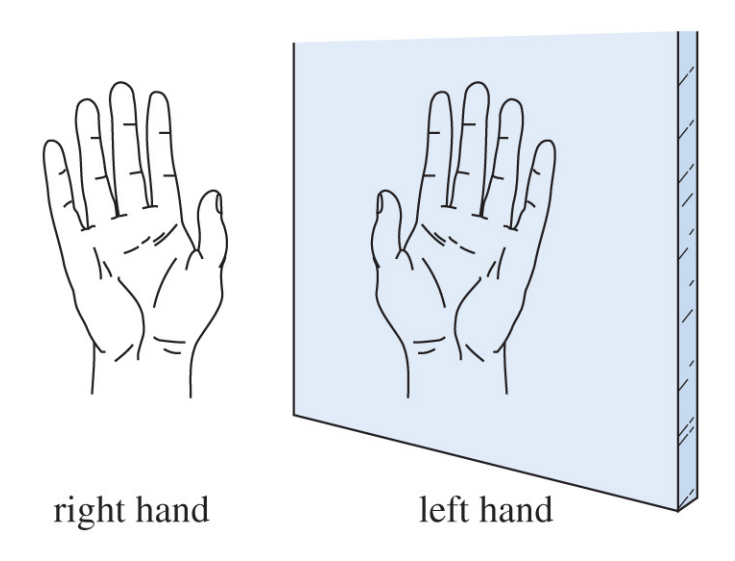


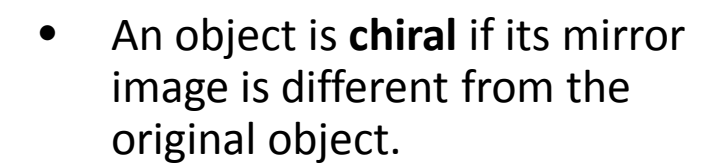
A bit on Stereochemistry

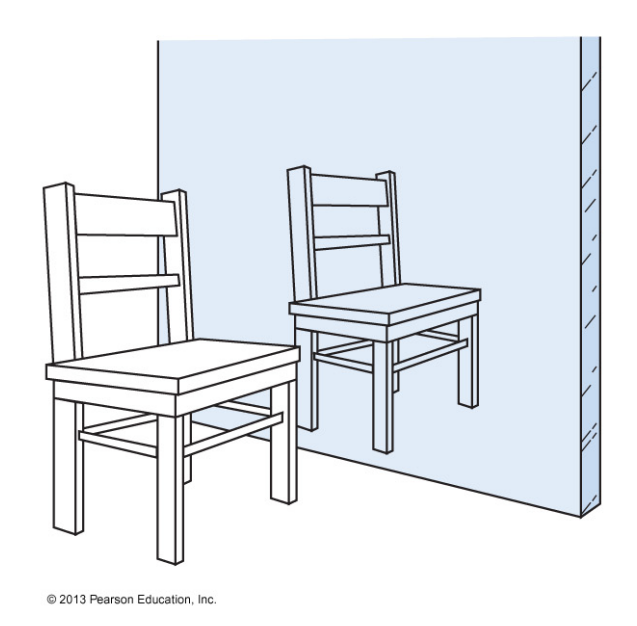
Definitions

- Stereoisomers compounds with the same connectivity, different arrangement in space
- Enantiomers stereoisomers that are nonsuperimposible mirror images; only properties that differ are direction (+ or -) of optical rotation
- Chiral compound a compound that is optically active (<u>achiral</u> compound will not rotate light)

Chirality



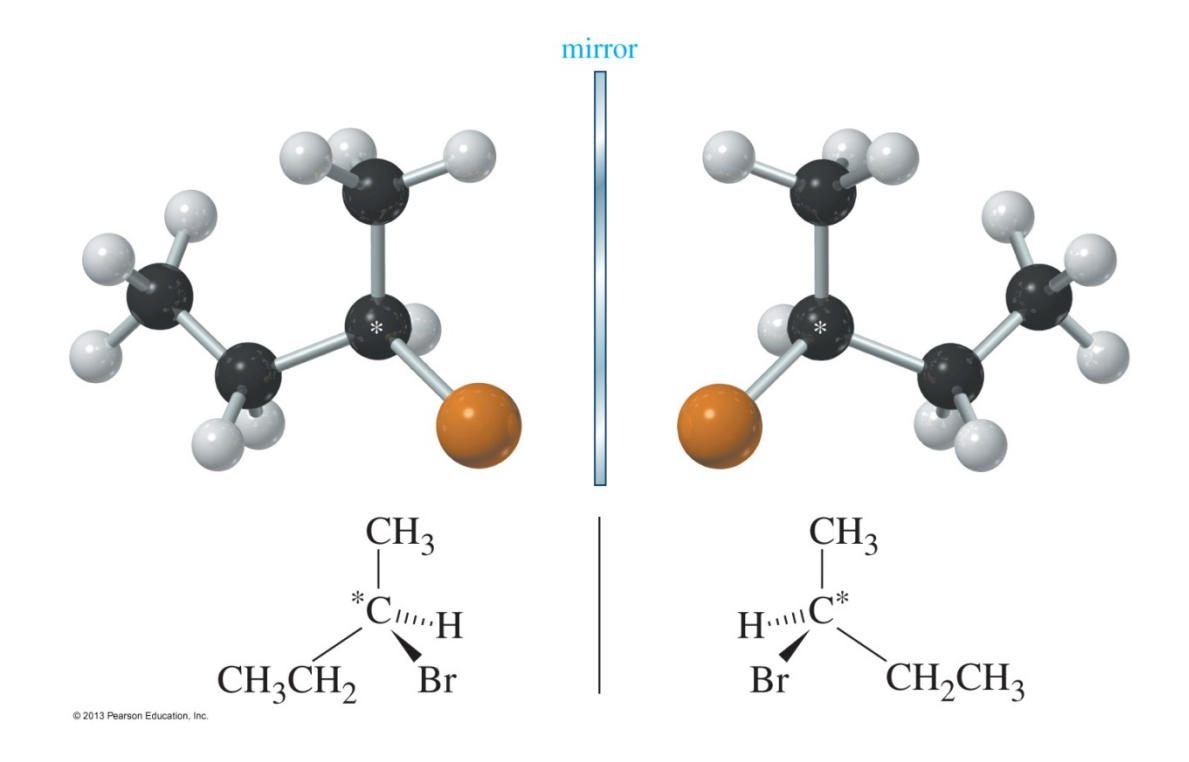




 Mirror images that can be superposed are *achiral* (not chiral).

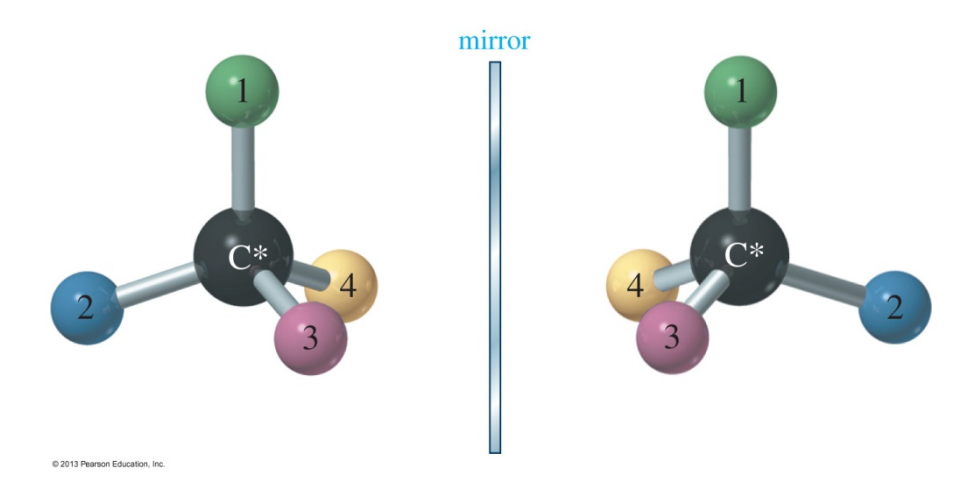
Stereoisomers

Enantiomers: Compounds that are nonsuperimposable mirror images. Any molecule that is chiral must have an enantiomer.

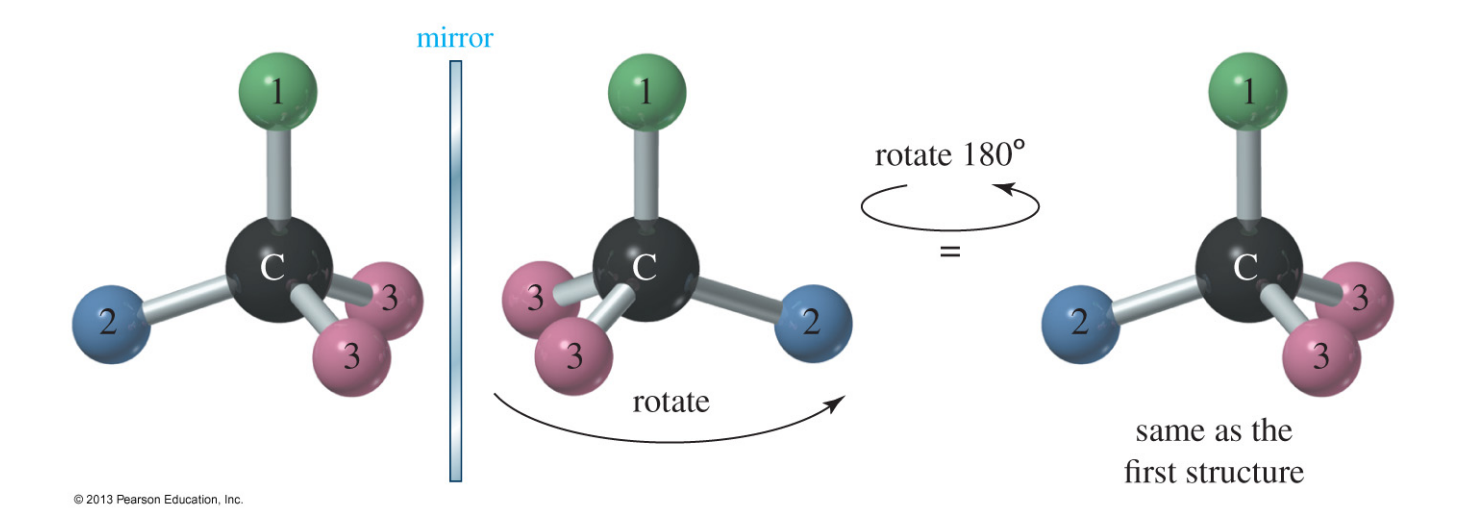


Chiral Carbon Atom

- Also called *asymmetric carbon* atom.
- Carbon atom that is bonded to four different groups is chiral.
- Its mirror image will be a different compound (enantiomer).



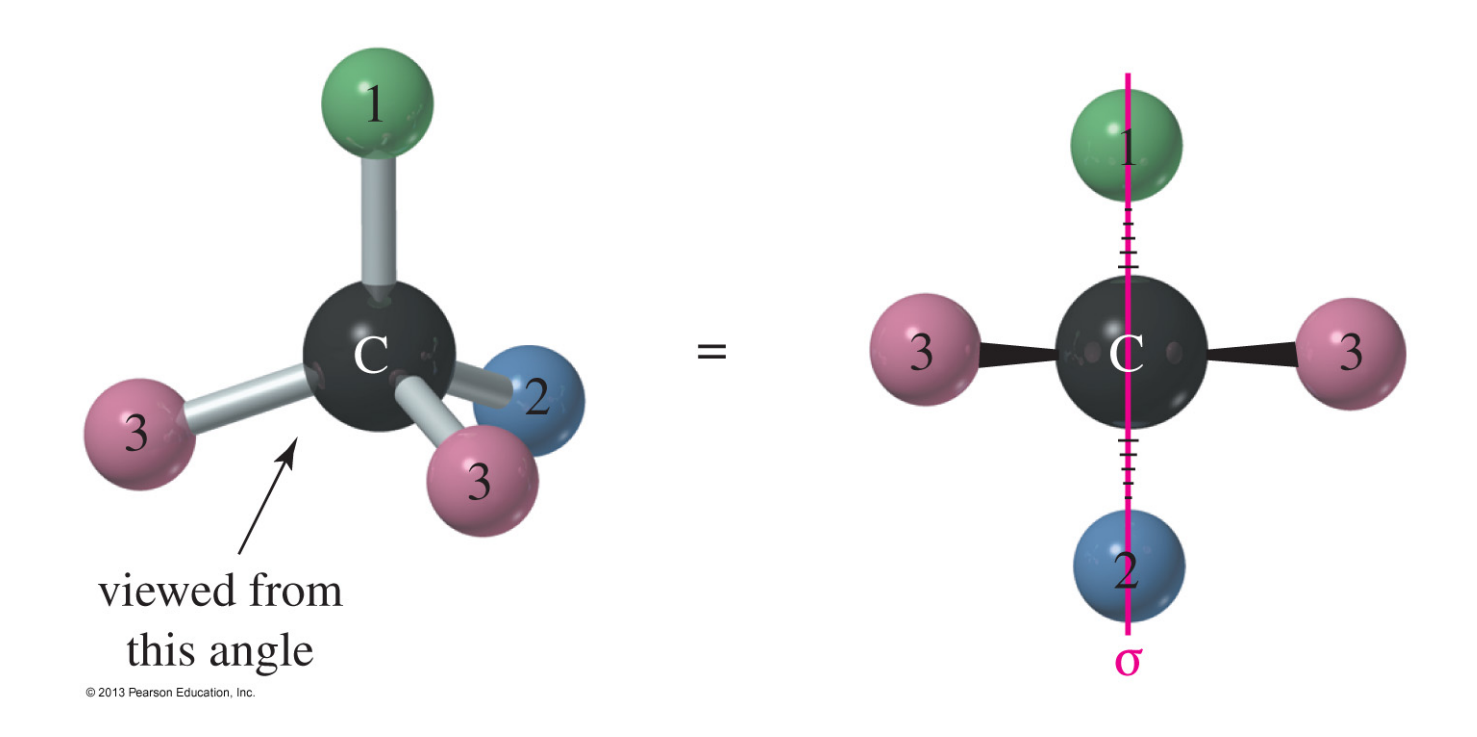
Achiral Compounds



Take this mirror image and try to superimpose it on the one to the left matching all the atoms. Everything will match.

When the images can be superposed, the compound is *achiral*.

Planes of Symmetry

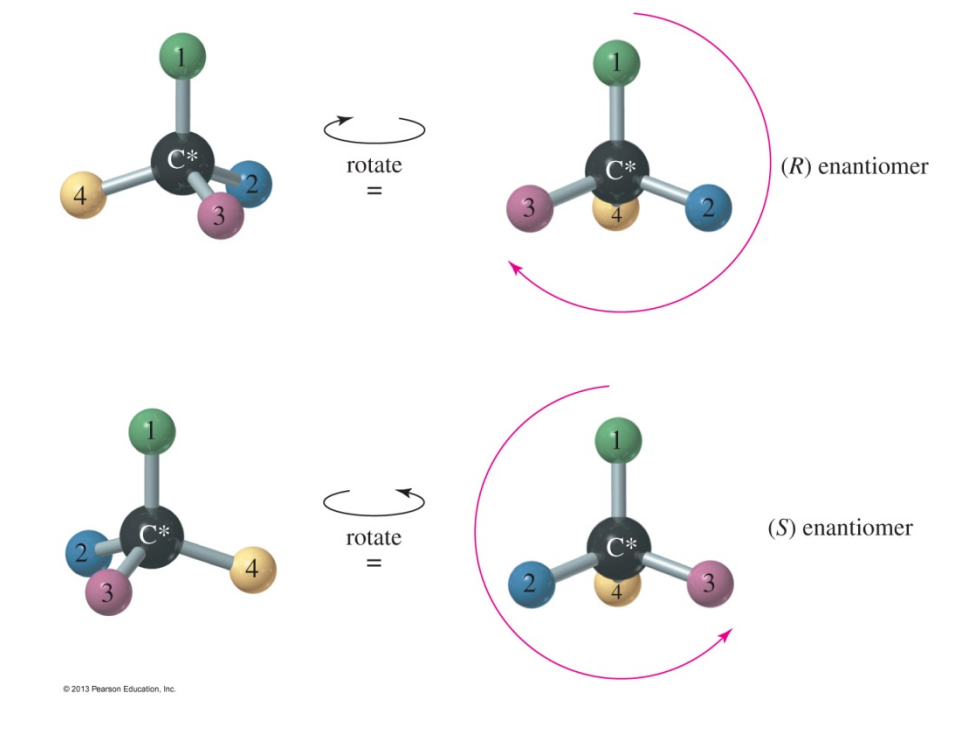


• A molecule that has a plane of symmetry is *achiral*.

(R) e (S) Conformations

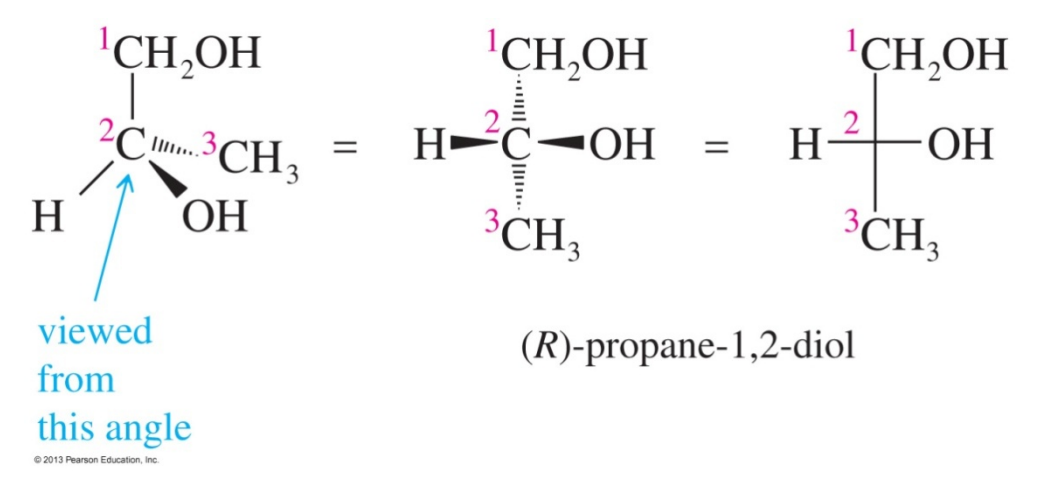
 Cahn-Ingold-Prelog convention is the most widely accepted system for naming the configurations of chirality centers.

- Working in 3-D, rotate the molecule so that the lowest priority group is in back.
- Draw an arrow from highest (1) to second highest (2) to lowest (3) priority group.
- Clockwise = (R), Counterclockwise = (S)

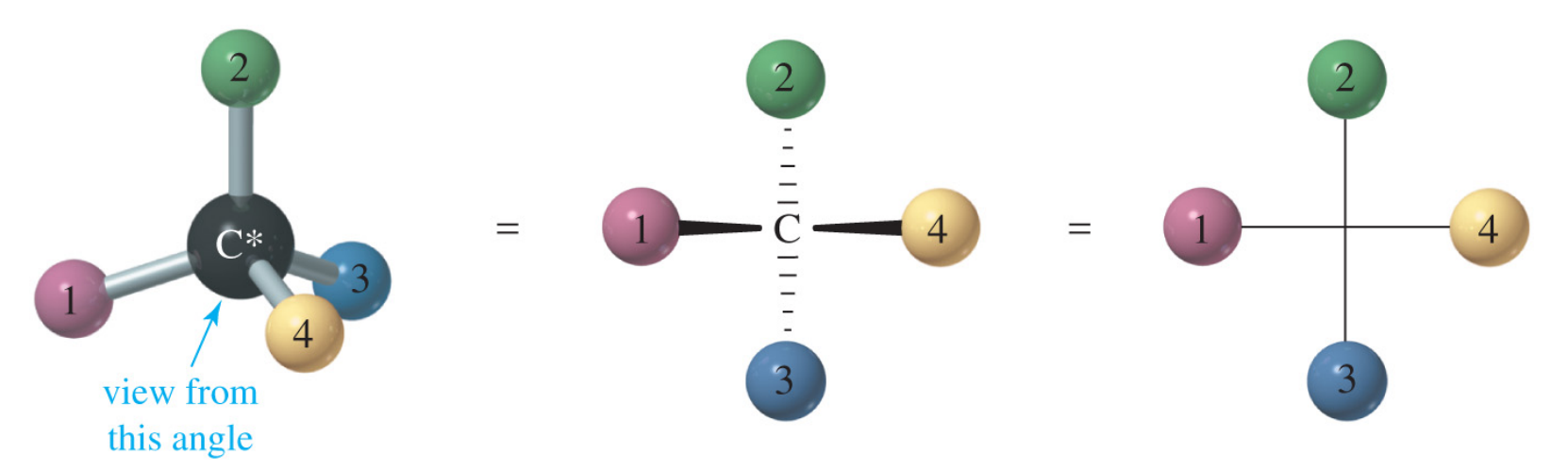


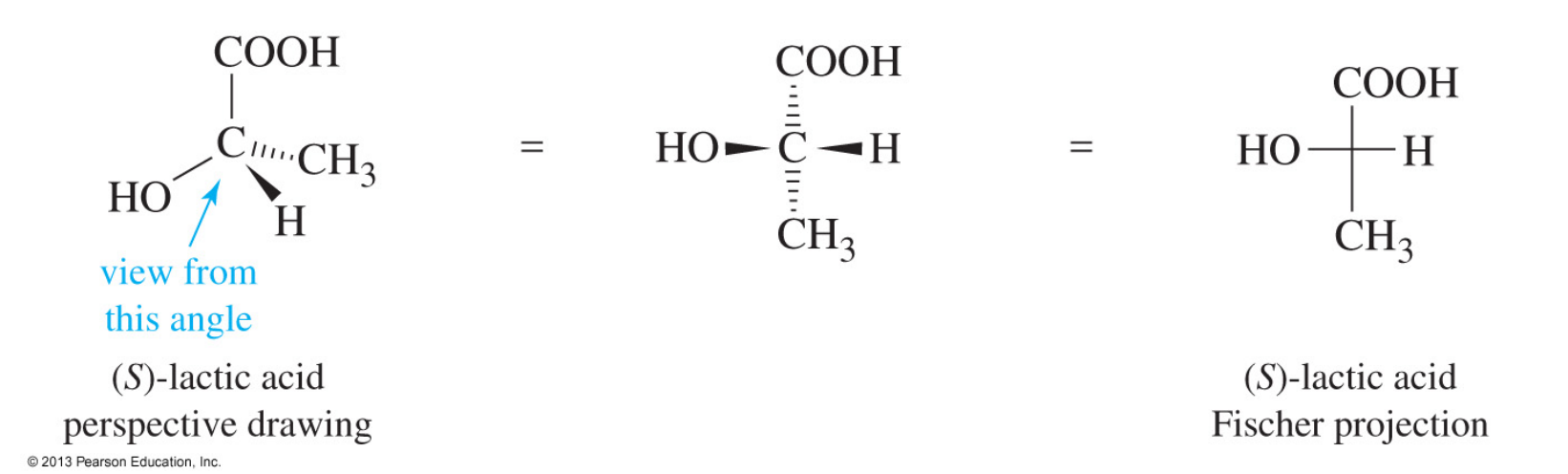
Fischer Projections

- Flat representation of a 3-D molecule.
- A chiral carbon is at the intersection of horizontal and vertical lines.
- Horizontal lines are forward, out of plane.
- Vertical lines are behind the plane.



Fischer Projections (Continued)





Fischer Rules

- Carbon chain is on the vertical line.
- Highest oxidized carbon is at top.
- Rotation of 180° in plane doesn't change molecule.
- Rotation of 90° is NOT allowed.

Reações de Polimerização iniciadas por catalisadores metálicos – Reações de Transferência

Catalisadores de Ziegler-Natta

Descobetos nos anos 1950 por Ziegler os catalisadores a base de compostos alquil-alumínio e metais de transição permitiam a polimerização do etileno à pressão ambiente e temperatura ambiente sem produzir muitas ramificações, dando origem à um polietileno muito cristalino, que ficou conhecido como Polietileno de Alta Densidade PEAD.

Permite a polimerização de monômeros como propileno, 1-buteno dando origem às α -olefinas.

Metal do grupo I, II ou III/ heterogênio

TABLE 7.1 Components of Ziegler-Natta Catalysts

Metal Alkyl or Aryl	Transition Metal Compounds
---------------------	----------------------------

$(C_2H_5)_3A1$	TiCl ₄ ; TiBr ₃
$(C_2H_5)_2A1C1$	TiCl ₃ ; VCl ₃

$$(C_2H_5)A1C1_2$$
 $VC1_4$; $(C_5H_5)_2TiC1_2$

$$(i-C_4H_9)_3A1$$
 (CH₃COCHCOCH₃)₃V

$$(C_2H_5)_2Be$$
 $Ti(OC_4H_9)_4$

$$(C_2H_5)_2Mg$$
 $Ti(OH)_4$; $VOCl_3$

$$(C_4H_9)Li$$
 $MoCl_5$; $CrCl_3$

$$(C_2H_5)_2Zn$$
 $ZrCl_4$
 $(C_2H_5)_4Pb$ CuCl

$$((C_6H_5)_2N)_3A1$$
 WCl₆
 C_6H_5MgBr MnCl₂

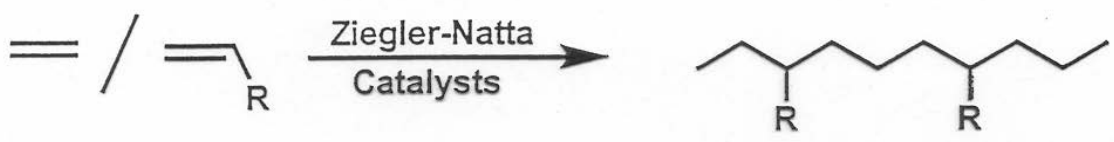
Polyethylene



linear, semicrystalline

 $T_{\rm m} = 133-138 \, ^{\circ}{\rm C}$

High Density Polyethylene (HDPE)



1-10% comonomer incorporation

T_m = 115-130 °C

Linear Low Density Polyethylene (LLDPE)

The Beginnings

- 1953 K. Ziegler polymerized ethylene at low pressures with binary mixtures of transition metal salts and metal alkyls, e.g., TiCl₄ + AlEt₃.
- 1954 G. Natta polymerized propylene with these catalysts and recognized the ability of the catalyst to control stereospecifity. Via the use of α-TiCl₃, highly crystalline propylene 1-butene and styrene polymers were synthesized.
 - Hogan, Banks (Phillips Petroleum Co.)
 disclosed the use of chromium oxide on
 silica &/or alumina catalysts for
 polyethylene.
- 1955 Vandenberg (Hercules) and Bua, Luciani (Montecatini) applied for patents that disclosed the use of H₂ as a chain transfer agent for Ziegler-Natta type catalysts.
- 1962 Natta, Zambelli & co-workers announced the synthesis of highly syndiotactic PP with VCl₄ + AlEt₂Cl (@-78°C)
- 1963 K. Ziegler and G. Natta were awarded the Nobel Prize in Chemistry by the Royal Academy of Science of Sweden.

Physical Constants for Polypropylene

Property	Isotactic	Syndiotactic	Atactic
density, g/cm ³	0.92-0.94	0.89-0.91	0.85-0.90
melting point, °C	165	135	
solubility in hydrocarbons at 20°C	none	medium	high
yield strength	high	medium	very low

Giulio Natta 1903 - 1979

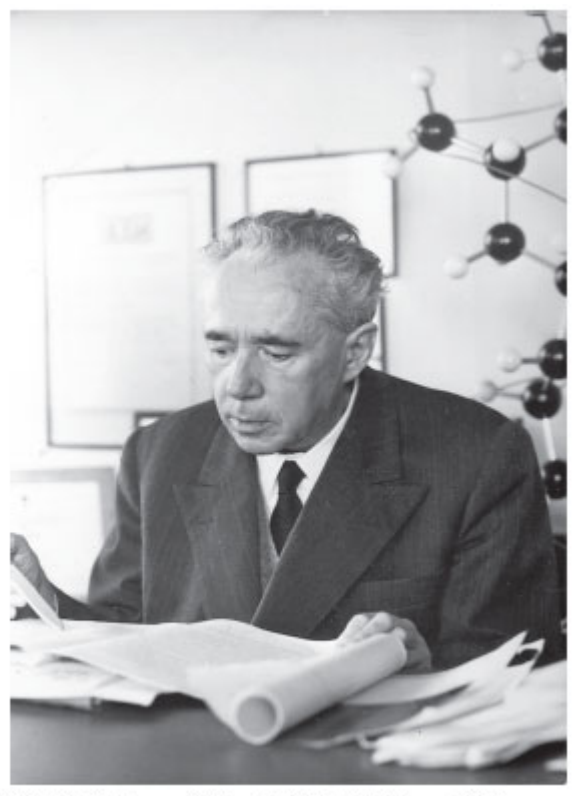


Figura 2. Giulio Natta na vigília do Prêmio Nobel em 1963.

Marzo	Marzo	
Giovedi Fello i s Eraclio 11 polificolore	s Arrigo	Sabalo 13
Venerdi s Gregorio	s Matilde	Domenica 14

Figura 3. Da agenda de Giulio Natta Março 1954: "fatto il polipropilene" (N.d.T. "feito o polipropileno").



Karl Ziegler 1898 -1973

Os dois mecanismos principais:

- -Bimetal (Natta et al.)
- -Monometal (Cossee e Arlman)

$$C_{2}H_{5}$$

$$C_{2}H_{5}$$

$$C_{2}H_{5}$$

$$C_{2}H_{5}$$

$$C_{1}$$

$$C_{1}$$

$$C_{1}$$

$$C_{1}$$

$$C_{1}$$

$$C_{1}$$

$$C_{1}$$

$$C_{2}$$

$$C_{3}$$

$$C_{1}$$

$$C_{1}$$

$$C_{1}$$

$$C_{2}$$

$$C_{3}$$

$$C_{4}$$

$$C_{5}$$

$$C_{1}$$

$$C_{1}$$

$$C_{2}$$

$$C_{5}$$

$$C_{1}$$

$$C_{1}$$

$$C_{2}$$

$$C_{3}$$

$$C_{4}$$

$$C_{5}$$

$$C_{5}$$

$$C_{7}$$

$$C_{1}$$

$$C_{1}$$

$$C_{1}$$

$$C_{2}$$

$$C_{3}$$

$$C_{5}$$

$$C_{5}$$

$$C_{7}$$

$$C_{1}$$

$$C_{1}$$

$$C_{1}$$

$$C_{2}$$

$$C_{3}$$

$$C_{5}$$

$$C_{5}$$

$$C_{7}$$

$$C_{1}$$

$$C_{1}$$

$$C_{1}$$

$$C_{2}$$

$$C_{3}$$

$$C_{5}$$

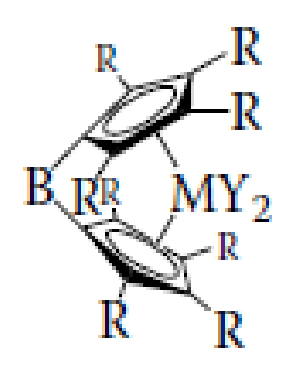
$$C_{6}$$

$$C_{7}$$

$$C_{1}$$

$$C_{7}$$

Metalocenos

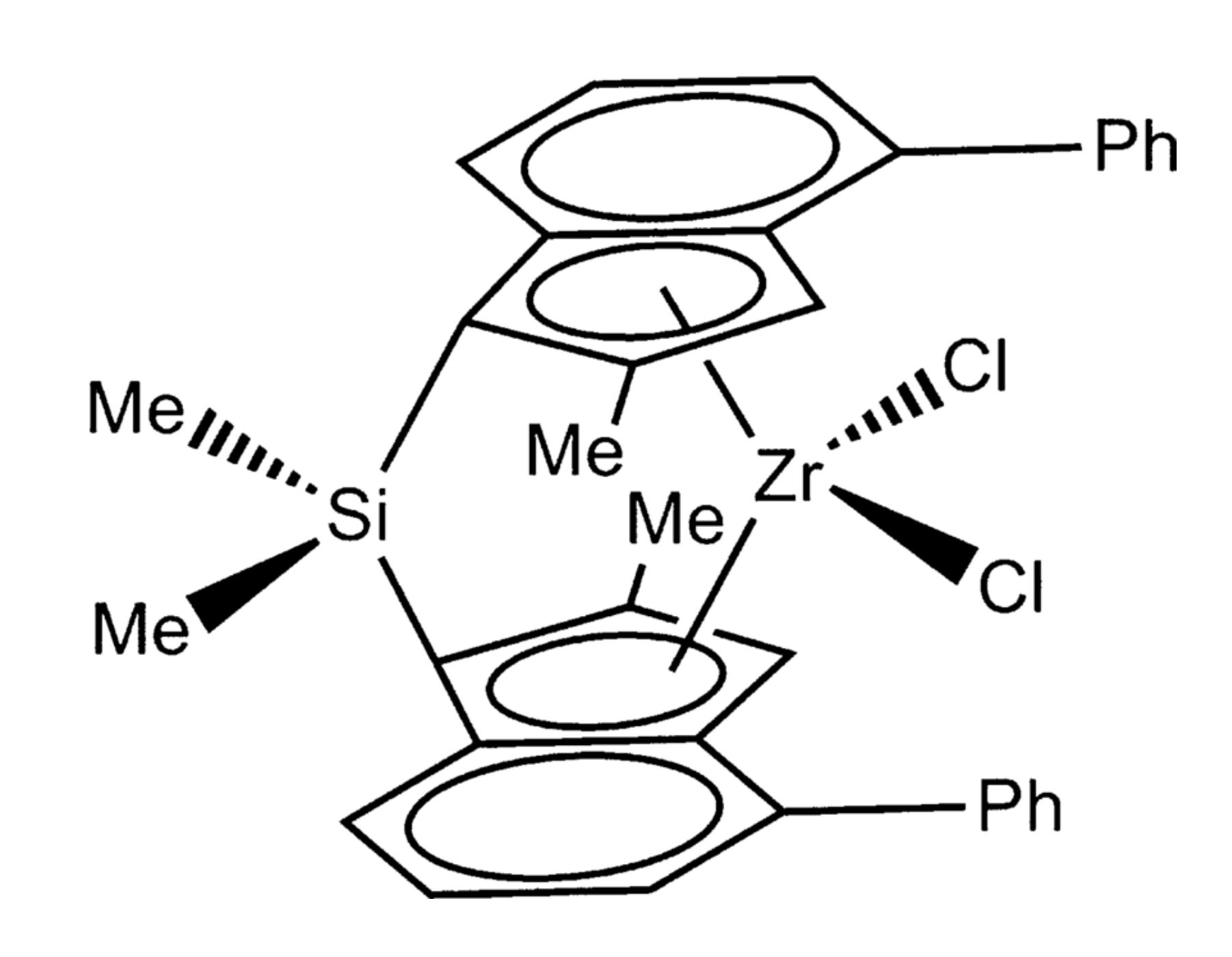


$$B = (CH_2 CH_2); (CH_3)_2 Si = ; (CH_3)_2 C =$$

Y = halogen or alkyl group

R = H, alkyl or fused ring system

M = transition metal from groups 4B, 5B or 6B



Para as próximas Aulas

Capítulo 7. Polymerizbyation Reactions Initiated by metal catalyst and Transfer Reactions

Pg. 157 a 180

Capítulo 8. Polymers in Solution

- 8.1 Thermodynamics of Polymer Solutions
- 8.2 Ideal Mixtures of Small Molecules
- 8.3 Nonideal Solutions
- 8.4 Flory-Huggins Theory: Entropy of Mixing
- 8.5 Entalpy Change of Mixing
- 8.6 Free energy of Mixing
- 8.7 limitation of Flory-Huggins Theory
- 8.8 Phase Equilibria
- Da pg. 197até a pg. 208
- 8.11 Lower Critical Solution Temperatures pg. 213 a 215
- 8.12 Solubility and the Cohesive Energy Density pg. 216 a 219
- 8.13 Polymer-Polymer Mixtures (Blendas Poliméricas) pg. 219 a 223